

光学玻璃线性
退火原理

E. Ә. 达紐舍夫斯基著

國防工業出版社

光 学 玻 璃 纔 性 退 火 原 理

[苏联] E. 9. 达纽舍夫斯基著

鄒德榮譯



國防工業出版社

1965

内 容 简 介

本书闡述了光学玻璃綫性退火的理論基础及其在生产中的应用。从綫性退火結果在光学玻璃毛坯中所发生的殘余应力和光学不均匀性的观点探討了退火。书中推导出了一系列公式，在許多情况下可用来控制任何尺寸的圓盤形玻璃毛坯——从最小的鏡片到巨大的天文透鏡的綫性退火。

书中还詳尽地闡述了光学玻璃生产性退火的檢驗問題。

本书可供研究退火問題的工程技术人员及工厂实验室和科学硏究机关工作人員参考。

ОСНОВЫ ЛИНЕЙНОГО ОТЖИГА

ОПТИЧЕСКОГО СТЕКЛА

〔苏联〕E. Э. Данюшевский

ОБОРОНГИЗ 1959.

*
光学玻璃綫性退火原理

鄒 德 桑 譯

*
國防工业出版社 出版

北京市书刊出版业营业登记证字第 074 号

新华书店北京发行所发行 各地新华书店經售

国防工业出版社印刷厂印裝

850×1168 1/32 印張 3 5/16 84千字

1965年5月第一版 1965年5月第一次印刷 印数：0,001--2,600册

统一书号：15034·868 定价：(科八-1) 0.70 元

目 录

序 言	4
第一章 引言	5
§ 1 玻璃退火的概念.....	5
§ 2 光学玻璃退火研究发展简史.....	6
§ 3 光学玻璃精密退火炉及其控制设备.....	9
第二章 旨在消除应力的玻璃退火	15
§ 1 玻璃内淬火应力的产生和它在高温下的张弛.....	15
§ 2 恒速加热或冷却玻璃时玻璃中的温度应力分布.....	19
§ 3 玻璃应力的线性退火制度.....	24
§ 4 圆片中的边缘效应.....	27
§ 5 应力张弛定律.....	33
§ 6 确定玻璃退火温度和退火常数的方法.....	35
第三章 玻璃的折射率退火理论	42
§ 1 玻璃在恒温保温过程中的折射率变化.....	46
§ 2 玻璃在冷却过程中的折射率变化.....	52
§ 3 经理想退火的玻璃折射率.....	57
§ 4 光学玻璃在理想线性退火中的不均匀性计算.....	64
第四章 玻璃的生产性折射率退火和线性退火	
理论在其中的应用	77
§ 1 光学玻璃的折射率绝对值退火.....	81
§ 2 光学玻璃的均匀性退火（在普通炉内）	88
§ 3 大玻璃圆片的光学均匀性精密退火.....	94
结 论	98
附录 1 介绍快速确定淬火数的方法	99
附录 2 光学玻璃毛坯鉴别力的概念及其测定方法	101
参考文献	106

序　　言

本书以玻璃綫性退火方面的一些极重要的著作为基础，根据这些著作建立了光学玻璃的綫性退火理論。

书中詳尽地探討了这个理論在生产性綫性退火中的应用及其檢驗問題，以及測量所导出公式中的物理常数的某些方法。

第二章研究了旨在消除玻璃中淬火应力的綫性退火。此章主要以阿当姆斯和威廉逊的有关光学玻璃綫性退火的基本著作为基础。

第三、四章研究了旨在消除玻璃中光学不均匀性的綫性退火，以及利用退火使玻璃的折射率达到預定值。这几章以苏联学者科学院院士 A. A. 列別捷夫和物理数学科学硕士 A. И. 斯托查諾夫的著作为基础。因为作者已經根据其中的一些著作成功地建立了光学玻璃在折射率方面的理想綫性退火理論，并且已經以圓玻片的生产性退火試驗証实了这一理論，所以在本书中沒有涉及国外学者的有关此一問題的著作。其中一些最杰出的著作（例如，李里，雷特兰[16]）的結果与我們的結果沒有矛盾。

在准备本书时，技术科学博士 Л. И. 捷姆金娜給予了巨大的帮助，作者对此深为感謝。作者也对科学硕士 A. И. 斯托查諾夫和 M. C. 哥米耳斯基的許多宝贵指示表示謝意。

E. Э. 达紐舍夫斯基

第一章 引 言

§1 玻璃退火的概念

光学玻璃生产包括一系列过程，其中最后一道过程是精密退火。这种生产的简单情况如下所述。

光学玻璃在容积达 700~900 立升的陶质坩埚中熔化，坩埚放在可升温到 1500~1550°C 的熔炉里面。熔化结束以后，把坩埚运出熔炉，将玻璃浇注成型或在坩埚里缓慢地冷却。

冷却后，把玻璃敲成块状，并将其放在特殊的成型炉内加热软化，压成矩形片或直接压成所需尺寸和形状的毛坯，它们相当快地冷却下来。

把冷却后的矩形片切割成小块，并使其符合预定的重量，这样的小块叫做割片；把割片在另外的炉子内加热软化并压成透镜或棱镜的形状。压出的制品叫做毛坯。

这样一来，光学玻璃在生产中就受到多次加热和冷却。因此必须了解在这种情形下玻璃中进行的变化过程。

如果把玻璃加热到足够高的温度（例如，冕玻璃到 650~750°C，火石玻璃到 500~600°C），然后迅速冷却，则玻璃中就产生弹性内应力；这种应力称为淬火应力。当玻璃从熔融状态迅速冷却时也同样产生淬火应力。玻璃冷却得越快，则其淬火也就越强。

除出现淬火应力外，在冷却时玻璃中还进行着结构上的转化，玻璃的所有物理性质，包括折射率在内，都随同发生变化。这些转化在玻璃体各部是不均匀的。因此，如果说通过熔化时的搅拌使光学玻璃在化学组成方面成功地达到了完全均匀，但是在冷却过程中却造成了光学上不均匀的玻璃，即玻璃的折射率不是不变

的，各点互不相同。这样的玻璃不适于制造光学仪器。

这样一来，压出的光学玻璃毛坯在冷却后就有着两种不允许有的性质：大的应力和光学不均匀性。

快速冷却的玻璃的这些不利性质通过退火可以在一定程度上得到消除，退火可把不适用于光学仪器的玻璃转变成适用的玻璃。这也正是退火是光学玻璃生产最重要的工艺过程之一的原因。

技术玻璃（器皿玻璃，温度计用玻璃等）的退火比光学玻璃的退火要简单得多，因为前者不要求保证光学均匀性，退火只是为了消除内应力（淬火应力）。光学玻璃的退火除消除应力外，还必须保证玻璃的折射率均匀性。

因此，并不是所有适用于技术玻璃的退火制度都适用于光学玻璃。光学玻璃的退火由于更为困难和更重要，因而被称为“精密”退火。

在本书中将分别研究光学玻璃退火中的各个问题，这些问题是由必须保证对应力的要求与对折射率的均匀性和绝对值而产生的。

§ 2 光学玻璃退火研究发展简史

有科学依据地消除应力的退火的奠基者是阿当姆斯和威廉逊[13]，他们的著作公布于1919~1920年，为了简便起见，以后我们把这种退火称为“应力退火”。他们研究了高温下玻璃中应力弛豫（减弱）规律，解释了玻璃中出现淬火应力的原因，引进了应力退火常数概念和制定了决定这些常数的方法；引进了退火区域概念，制定了退火制度和引进了许多使有可能控制应力退火的公式；最后，他们还测量了九种组成玻璃的退火常数。

保证光学玻璃的折射率和光学均匀性要求的“精密”退火的奠基者是科学院士A. A. 列别捷夫和物理数学科学硕士A. И. 斯托查诺夫。为了简便起见，以后我们把精密退火称为退火。1921

年，A.A.列別捷夫[7]提出了淬火后的玻璃的光学不均匀性原因是玻璃中的结构轉化 (α -石英轉化为 β -石英) 的假設，这些轉化是在退火区内发生的，并且由于淬火結果会引起玻璃折射率不均匀地降低，达到小数后第三位的几个单位。他还提出的另外一些假設来解釋高溫下玻璃中的轉化原因[4]。但这些原因到現在仍不清楚。但是玻璃中的确发生轉化这个事实，对我們的目的来讲已足够了。

玻璃折射率的变化不仅是由于結構轉化所引起，也由剩余应力所引起，这些变化（由应力所决定的），正如A.A.列別捷夫所指出的，比和結構轉化有关的变化小几百倍，因而在迅速冷却的（淬火后的）玻璃的光学不均匀性中不起重大作用。反之，在从高溫緩慢冷却的（退火后的）毛坯中，由应力引起的不均匀性則已不容忽视。

A.A.列別捷夫发现，退火区内的各个溫度都相应于玻璃自身的平衡状态（按 A.A.列別捷夫的理論，它决定于 α 石英和 β 石英的数量之比），玻璃极力趋向它的平衡状态；这时玻璃的各个物理常数，包括折射率在内，都漸漸接近自己的平衡值。

折射率平衡值是溫度的函数，A.A.列別捷夫把它的图象称为平衡曲綫 [7]。A.I.斯托查諾夫[8]指出，退火区内的平衡曲綫是条直綫（参閱图 1）。其次，他确定了当玻璃在退火区内在既

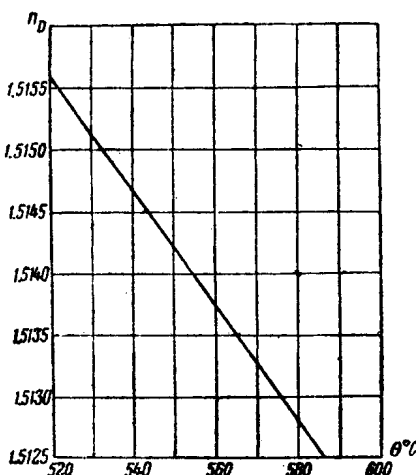


图 1 牌号 K7玻璃的平衡直綫。

定溫度下保溫时折射率变化速度所遵循的規律；引入了玻璃折射率退火常数的概念并測定了六种牌号光学玻璃的折射率退火常数值。最后，A. И. 斯托查諾夫还导出了在退火区内玻璃折射率的变化和它的溫度变化相联系的微分方程。科学院士 B. A. 福克曾指出了在特殊情况下解此方程的途径。以此規律作为基础，A. A. 列別捷夫提出了制定光学玻璃退火制度的原則，这些原則保証得到最稳定的折射率值[7]。

B. A. 弗洛林斯卡雅[10]根据她所得到的大量實驗資料，得出了几种牌号玻璃的折射率和色散随同相应于退火区及比之更低的溫度而变化的經驗公式；她引入了色散平衡曲綫概念，并且得到了中火石玻璃和重火石玻璃的曲綫。

A. И. 斯托查諾夫指出[8]，为了保証所要求的同批玻璃毛坯的折射率均匀性，不同厚度的玻璃應該以同样的速度冷却，可是按希望达到另外目的——减少应力的阿当姆斯和威廉逊的看法，制作越厚，这个过程就應該进行得越慢。

其次，由 A. И. 斯托查諾夫的著作得出，为了得到整批毛坯折射率都相同的玻璃，必須使冷却以严格恒速通过全部退火区。在这基础上，在有些工厂中曾經制定了恒速降溫退火制度。这种退火称为光学玻璃的綫性退火。

一些工厂繼續发展了阿当姆斯和威廉逊、A. A. 列別捷夫 和 И. А. 斯托查諾夫的关于光学玻璃退火的工作。某工厂曾經推导出了圓玻片中的邊緣应力公式，这个公式成功地应用于天文光学仪器的大型毛坯的退火中[2]。在这个工厂中还确定了[1]大部分牌号光学玻璃的平衡直綫的角系数。

1943年在另一个工厂中，我們制定并且在生产中推广了快速确定消除玻璃应力所需溫度的方法。在1944~1945年，曾經从微分方程的普通积分中推导出了简单的公式，这个公式表明了玻璃折射率与退火制度的关系，而且还求出了在接近退火上限把玻璃保溫，并以恒速冷却通过全部退火区的特殊情况下应用这个公式

的条件。在这个公式中引进了与玻璃組成有关的系数，已确定了20种牌号光学玻璃的这个系数。

国外有許多学者从事光学玻璃折射率退火的研究，这些学者是：N. 克林、貝格、布兰特、梯尔通、图尔、雷特兰德、李里等，特別是李里和雷特兰德，他們是不久以前問世的关于这个問題的巨著“光学玻璃精密退火”一书的作者[16]。在这部著作中，他們采用了图尔所引进的“虛溫度”概念，这使得他們的叙述变得很难理解。在本书中，我們并沒有用这个复杂的概念，但是却成功地得到了同样的結果。

在所有这些关于光学玻璃退火的工作的基础上，在1945年已經形成了为得到退火良好的玻璃的充分条件；这之所以成为可能，是因为光学玻璃線性退火理論的物理方面到此时已基本建立。設備方面已在設計比那时所用的更加完善的退火炉、更加完善的测量炉内溫度和保証在退火过程全部時間內严格定速冷却的裝置。

J. E. 維耳涅尔●曾建造了这种更加完善的用于大块玻璃大批退火的炉和裝置。在这些炉中，甚至直徑大达一米的特大玻璃块也能良好地退火。由于这些工作，使得尺寸大达一米的最为重要的特大光学毛坯（圓片形）的退火問題，无论在理論上或是实际上都已基本●解决。

§ 3 光学玻璃精密退火炉及其控制設備

光学玻璃在所謂精密退火炉内退火。这些炉子是按它們的加热方法（木柴炉或煤气炉、电炉），調節溫度的方法（人工調節的炉子或自動調節的炉子），在退火区內的降溫方法（按照預定的溫度曲線强迫降溫或是停热慣性降溫），消除或减少炉内載物室的溫

● 比这还要早些，B. H. 淳明曾經設計了多繞組退火炉，在这种炉内成功地退火了直徑1米的、用作天文望远鏡（反射望远鏡）物鏡毛坯的天文鏡片。
● 带有某些安全儲备。

差的方法（带有厚壁圆铁筒的炉子或是使炉内空气对流的炉子），装置电热器的方法（单区段、双区段、三区段或多区段的炉子），最后，按其大小来分类的。

任何退火炉都有在运进炉子以前装放成批被退火光学玻璃毛坯的装置。在木柴炉和煤气炉中，这是直径约一米的耐火泥罐，在电炉中是铁架或铁盒。装好以后，把这个装置放进炉内退火，炉子用盖封闭（电炉）或用砖堆闭（木柴炉），然后开始加热炉子。

最简单的和最大的供小块光学玻璃毛坯退火用的炉子是木柴炉（图2），炉内可装半吨毛坯。燃烧产物从炉膛7经由狭缝5进入炉4内；在装玻璃的罐10四周拂过废气经由出气孔9和竖直通道8进入烟道1内，烟道1与工厂的烟囱相通。

这种炉子的优点是热惯性大，能及时使温度波动平稳下来，虽然这种平稳作用还比较粗糙，其缺点则在于罐内有显著的温差和温度分布的不对称性。

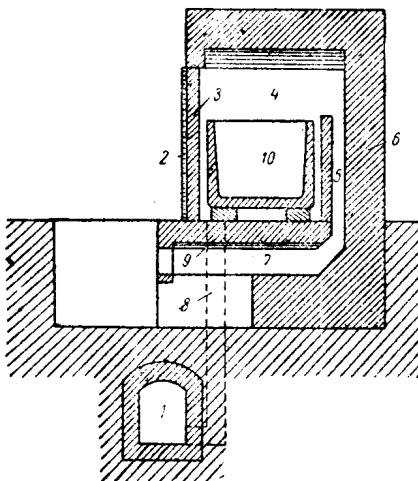


图2 木柴炉。

为了减少从后壁6到炉口方向的温差，在炉外的临时砖砌3上安装有专用电热器2，砖砌3代替炉门堵住炉口。电热器加热程

度可以人工調節，这样就使得炉子的前壁和后壁的溫度平均起来，但是上下仍有显著的溫差。

炉子的另一缺点是必須人工調節燃燒，把木柴加入炉膛內。因此在炉內难以保持預定的溫度，現在几乎已經不用这种炉子了。

目前光学玻璃退火主要是在圓筒形电炉（图 3）內进行。电炉比火焰炉要完善得多。电炉內的溫度分布多少对称于炉的軸綫；在电炉內退火的結果更为可靠一些。

电炉的側向圓筒形外壳 6、底 1 和盖 7 都用硅藻土壤滿。电炉絲繞在包在炉壳內鐵壁外面的石棉絕緣体（石棉粉和粘土）上，鐵壁內为載物室，玻璃就放在这里，装在鉄盒 4 里面。热电偶 2 和 3 与接触电流計 13 連接，图中画出的接触电流計只是供在保溫期內自動調節溫度用的。

炉子的电繞組通常作成区段式的，由几根并联在一起的导綫即区段組成。例如，在側壁有一个或两个区段，炉底和炉頂合为一个区段；利用变阻器 12 和分属于各区段的安培計 11；可以分

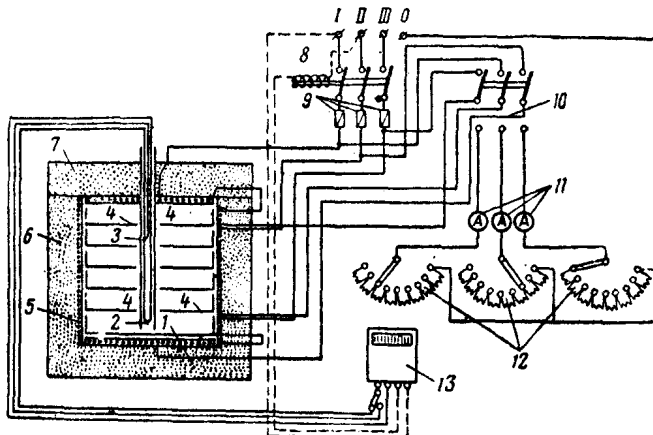


图 3 退火电炉。

別調節各区段的电流强度；这就有可能使炉內各部的热量收支均

匀，减少它们之间的温差。这种炉子称为区段式电炉。图3所画炉子是三区段的。图内还表示了与炉子电路图有关的一些零件：接触器8、双投刀形开关10、保险器9等。

电炉内有一个由电动机带动的螺旋桨，当炉子工作时用以使炉内空气温度均匀。但是这种炉子并没有达到预期的效果：虽然有空气移动，但这里还保持有很大的温差。

在玻璃保温和冷却时，炉内温度有时仍用人工调节，但是大部分工厂已经改为自动控制了。

这些用来把尺寸不大于150毫米、重量不超过3公斤的毛坯大批退火的电炉，我们称它为普通退火电炉。它们的装载容积直径约40~50厘米。

AO牌四区段巨型电炉要更完善得多，这种电炉有一个厚铁壁圆筒，用以保护玻璃，使它不致受到加热器的辐射能的直接作用。圆筒增大了炉子的惯性，从而减少了在炉子工作空间里面的温差。

这种炉子是专供尺寸大于150毫米、重量超过3公斤的大玻璃块精密退火用的。它们具有良好的自动控制温度和在冷却期中使炉温严格按照直线变化的设备。

在超精密退火炉中，专供特大玻璃块，例如天文镜片作超精密退火，有时采用多区段；这样就可以在整个炉内消除温差，使炉内任何两部分空间的温差不超过 1° 。这种炉子称为多区段退火炉。

目前在生产中采用光学玻璃线性退火，也即在退火区内玻璃的温度是按照直线下降。实际这很难做到，特别是在温差较大的炉子内，如火焰炉和没有缓冲铁的普通电炉。事实上，任何物体（在我们这里是在其中装有玻璃的退火炉）都自然地趋向冷却，即按惯性冷却，但却要人工地迫使它按照直线冷却；其结果温度下降不是按照直线，甚至也不是按照平滑的曲线，而是按照波浪式的曲线下降，这样就降低了退火质量。因此，线性退火就其实质而

論乃是强迫退火，需要有特別的措施来使退火成为真正綫性的。

現在我們来讲測量仪器方面的問題，这些仪器使有可能自动地按照預定制度进行退火。

退火炉的溫度用插在炉內載物室中心的热电偶来測量。溫度控制器与所謂“主热电偶”連接，主热电偶的受热端就放在炉子电繞組旁边；这样做是为了使溫度控制器在感受到繞組近旁的极小的溫度起伏时就立即向动力继电器发出信号，炉子过热时继电器把电路断开，炉子加热不足时把电路接通，从而保持溫度固定不变。于是电繞組的溫度起伏幅度将是适当的，而在炉子載物室內的起伏也不大，裝玻璃毛坯的炉子的质量越大，溫度起伏幅度就越小。炉中心的溫度起伏最小，在炉中心插有測量溫度用的热电偶。为了区别于主热电偶，称它为副热电偶。炉子載物室边部的溫度起伏最明显。

利用程序溫度控制器（如西門子、肯特、电子式等），玻璃在退火区內的規定的冷却制度得到遵守，詳細叙述这些設備的結構不屬本書問題範圍之內。我們只指出，这种設備的主要机件之一是所謂程序环，即金属样板，它的外廓相应于极座标中的在退火区內的溫度冷却曲綫（更准确些說，这条曲綫的矢徑正比于热电偶的电动势，它近似地和溫度成正比）。

程序环由严格恒速的同步电动机带动旋转。与仪器电路連接的指示器沿样板外廓滑动，仪器的构造是这样的：它使主热电偶的溫度，从而炉子的溫度，在每一瞬间都强迫地取得相应于这个瞬间指示器在样板外廓上的那一点的样板矢徑大小的溫度。当样板旋转时，指示器与炉子的溫度就按照相应于样板外廓的溫度曲綫变化。

冷却中的炉子的溫度曲綫所能保持的精度取决于样板制造精度。

显然，程序溫度控制器也可以用作使炉內溫度在保温时保持不变的普通溫度控制器。为此只要把带动样板旋转的同步电动机

关掉，把指示器定在样板的相应于保温温度的点上就可以了。

炉中心的温度自动地记录在自动记录器的纸带上面。

光学玻璃退火的质量在极大程度上取决于退火炉及其控制设备的质量。例如，如果毛坯尺寸和退火制度(规定的)都相同，用AO电炉退火的质量明显地比用普通电炉高。因此，精密退火炉的计算和设计在光学玻璃生产中起着重要的作用。从这个观点看来，这种玻璃的精密退火理论具有巨大的意义。

第二章 旨在消除应力的玻璃退火

§1 玻璃内淬火应力的产生和 它在高温下的张弛

把没有应力的玻璃片或玻璃球加热到不高的温度——100~200°C。因为玻璃导热性差，所以在加热时它内层的温度将低于外表面层的温度，即沿玻璃厚度方向产生了某些温差。玻璃外层受到加热而力图膨胀，但是却受到加热较差的内层阻碍。这样一来，玻璃片（或球）表面就将在内层的纵向压缩作用下膨胀，如图4 a所示；而内层则将在膨胀了的外层作用下被弹性地拉伸，即在玻璃中将出现弹性拉伸应力。这样的应力分布假定为正向的。

当加热到某一温度的玻璃冷却时，就应力分布符号而言，将与玻璃加热时发生的应力相反，即它在表面层将受到拉伸，在内层将受到压缩（图4 b）。把玻璃在其冷却时的应力分布叫做负向的。

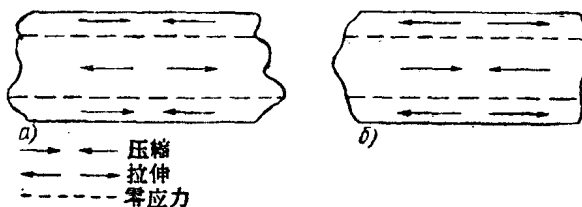


图4 玻璃片中的应力分布示意图：
a—正向的（当加热时）；b—负向的（当冷却时）。

玻璃加热或冷却得越快，其中的应力就越强。

无论在正向的或是在负向的应力分布情况下，离玻璃片或球表面一定距离的地方都会形成没有应力的零点层，超越这层时应

力改变符号。在矩形片中有二层和它的平面平行的零点层，在球和圆柱体中——一层零点层。

未受到强烈加热的玻璃在达到不高的温度（例如，冕玻璃到 400°C ）停止加热后或未受到强烈加热的玻璃在冷却（例如，到室温）后，其中的应力就会消失。因此把这种应力叫做暂时温度应力，或简称为温度应力。

图 5 表明了矩形玻璃片在四个瞬间时沿其厚度方向的温度分布曲线（实线）和应力分布曲线（虚线）： a ——冷却开始——沿矩形片厚度的温度不变，没有应力； δ ——玻璃表面冷却到 200°C ，应力分布是负向的； θ ——表面温度降低到 20°C ，但是内部还没有达到这个数值，应力分布仍然是负向的； φ ——矩形片中温度已经均匀，应力消失。

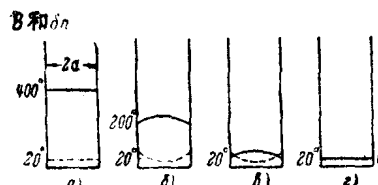


图 5 在玻璃片从低于退火区的温度冷却的时间内，玻璃片中出现暂时应力示意图。

当把玻璃加热到高温，例如，到 $600\sim700^{\circ}\text{C}$ 时，将出现完全不同的现象；这时玻璃在重力或温度应力作用下很容易变形（流动）。我们来看如图 6 所示的最简单的情况，图 6 的画法和图 5 相似。

玻璃在高温保温后，加热时产生的应力完全消失（图 6 a）。如果把这样的玻璃迅速冷却，那末，在冷却的时候，如同从较低一些的温度开始冷却一样，玻璃中将出现温差和与之连系在一起的负向应力分布。但是，在这个时候，如同在从不高的温度开始的冷却期中一样，玻璃中的应力不会改变，当在足够高的温度下保温时（图 6 b），应力产生后随即迅速减弱（即张弛）。这是由于在某一温度区间内玻璃容易流动，以及与固体相反，它不能长时间承受应力（液体只能承受住各向均匀的压缩）的缘故。